



کنترل چرخش ربات دوپای سه بعدی با پایداری مجانبی بر پایه چرخش غیرفعال

برهان بیگزاده^{۱*}، محمد رضا سبع پور^۲، محمد رضا حائری یزدی^۳

۱- استادیار، مهندسی مکانیک، آزمایشگاه تحقیقاتی بیومکاترونیک و مهندسی شناختی، دانشگاه علم و صنعت ایران، تهران

۲- دانش آموخته دکترا، مهندسی مکانیک، دانشگاه تهران، تهران

۳- استاد، مهندسی مکانیک، دانشگاه تهران، تهران

* تهران، صندوق پستی ۱۳۱۱۴-۱۶۸۴۶، b_beigzadeh@iust.ac.ir

چکیده

با ظهور مفهوم راهرفتن غیرفعال، کنترل ربات های دوپا بر مبنای حرکت های پریودیک پایدار دینامیکی حول یک سیکل حدی پایدار مورد توجه بسیاری از محققان قرار گرفت و امروزه شتاب بیشتری گرفته است. پیشرش نشان داده است که یک راهروند دوپا علاوه بر راهرفتن غیرفعال، به طور جالبی می تواند «چرخش غیرفعال» پایدار نیز روی سطح بدیعی به نام «گوه مارپیچ» داشته باشد. در مقاله حاضر، با بهره گیری از این چرخش های غیرفعال، یک روش کنترل بر پایه چرخش غیرفعال، موثر برای ربات های دوپای سه بعدی ارائه شده است. این کار با توسعه روش چذاب شکل دهنده انرژی پتانسیل که تاکنون صرفا در مورد کنترل راه رفتن مطریج بود، انجام گرفته است. در روش پیشنهادی، چرخش های غیرفعال پایدار مجانبی که روی گوه مارپیچ با شیب خاص وجود دارند، عیناً روی سایر سطوح با شیب مارپیچ دلخواه از جمله سطح افق (شیب مارپیچ صفر) باز تولید می شوند. لازم به ذکر است مدل دوپای مورد استفاده در این تحقیق، یک مدل پرگاری سه بعدی با عرض غیرصفرا، کف پای تخت و قوزک انعطاف پذیر است که چرخش غیرفعال پایدار دارد. تاثیج شبیه سازی ها، کارایی روش ارائه شده را به خوبی نشان می دهد.

اطلاعات مقاله

مقاله پژوهشی کامل

دربافت: ۱۲ دی ۱۳۹۴

پذیرش: ۱۵ اسفند ۱۳۹۴

ارائه در سایت: ۲۸ فوریه ۱۳۹۵

کلید واژگان:

ربات دوپا

راه رفتن غیرفعال

چرخش

کف پای تخت

پایداری مجانبی

Passivity based turning control of 3D biped robot with asymptotical stability

Borhan Beigzadeh^{1*}, Mohammad Reza Sabaapour², Mohammad Reza Hairi Yazdi²

1- Biomechatronics and Cognitive Engineering Research Laboratory, School of Mechanical Engineering, Iran University of Technology, Tehran, Iran

2- School of Mechanical Engineering, University of Tehran, Tehran, Iran

* P.O.B. 16846-13114, Tehran, Iran, b_beigzadeh@iust.ac.ir

ARTICLE INFORMATION

Original Research Paper

Received 02 January 2016

Accepted 05 March 2016

Available Online 16 April 2016

Keywords:

Biped Robot

Passive Walking

Turning

Flat Feet

Asymptotical stability

ABSTRACT

Once the concept of passive walking appeared, control of biped robots based on dynamically stable periodic gaits around a stable limit cycle became of interest to many researchers and it has further accelerated. The authors have previously shown that in addition to passive walking, a passive, biped walker could interestingly show asymptotically stable turning motion over a novel 3D surface called "helical slope". In this paper, based on passive turning concept, a control method would be offered which is effective for 3D biped robots. The approach is based on potential energy shaping that is usually applied for walking control. In the proposed method, asymptotically stable passive turning motions that are performed on a certain helical slope are projected to 3D motions over flat ground and along a circular path (which is the image of the helical slope on the ground). The biped model used in this study, is a 3D model of compass gait robot with flat feet and flexible ankles that could generate stable passive turning motions. The simulation results show the effectiveness of the proposed method as well.

ربات های شناخته شده ای مانند «آسیمو^۲» از این دسته اند.

در دهه های اخیر برخی محققین با الهام از حرکت انسان و بهره گیری از پایداری دینامیکی ذاتی راهروند به دنبال کاهش این پیچیدگی ها بوده اند. مفهوم «راه رفتن دینامیکی غیرفعال^۳» را نخستین بار مک گیر [2,1] با جزئیات مطرح نموده. او نشان داد یک راهروند دوپا، می تواند بدون هیچ گونه تحریک یا کنترل خارجی، صرفا تحت تاثیر نیروی گرانش، یک از سطح شیبدار بصورت کاملاً پایدار پایین رود. حرکت بوجود آمده که بسیار طبیعی به نظر می رسید در واقع یک حرکت پریودیک پایدار مجانبی منطبق

۱- مقدمه

با انجام تلاش ها برای افزایش قابلیت حرکت و پایداری ربات های دوپا، به تدریج تعداد حرکت ها، مصرف انرژی و پیچیدگی آن ها بطور فزاینده ای افزایش یافته است. در حال حاضر قریب به اتفاق تجارب موفق ربات های دوپا، انسان نمایه ای تمام فعال با کف پاهای بزرگ و تختی هستند که براساس معیارهای پایداری حول یک نقطه تعادل مانند نقطه لنگر صفر^۱ و برنامه ریزی زمانی تعقب مسیرهای مرجع مفاصل کنترل می شوند. چنین ربات هایی همواره تلاش دارند نقطه تعادل مذکور از چند ضلعی تکیه گاهی خارج نشود.

2- ASIMO

3- Passive walking

1- ZMP (Zero Moment Point)

Please cite this article using:

B. Beigzadeh, M. R. Sabaapour, M. R. Hairi Yazdi, Passivity based turning control of 3D biped robot with asymptotical stability, *Modares Mechanical Engineering*, Vol. 16, No. 4, pp. 9-99, 2016 (in Persian)

برای ارجاع به این مقاله از عبارت ذیل استفاده نمایید:

عددی نشان داده می شود. در بخش بعد تئوری شکل دهی انرژی پتانسیل برای استفاده در کنترل چرخش غیرفعال پایه تعیین داده می شود. در آخر، یک حالت خاص کنترل چرخش ربات به کمک روش مذکور روی سطح افق بررسی می شود و نشان داده می شود گیت های چرخش غیرفعال مثال قبل روی سطح افق قابل باز تولید هستند.

2-معرفی مدل

مدل راهروند سه بعدی موردنظر در شکل 1(a) نمایش داده شده است. مدل از نوع پرگاری با دوپایی صلب مستقیم و متقاضان به طول l است که از طریق یک مفصل کمر به عرض w به هم لولا شده اند. انتهای هر پا یک کف پایی تخت با ضخامت ناچیز قرار دارد که از طریق یک مفصل سه درجه آزادی انعطاف پذیر به نام قوزک پا به آن متصل است. نمایش شماتیکی از جزئیات مفصل قوزک پا و فرتهای پیچشی متناظر با درجات آزادی آن در شکل 1(b) قابل مشاهده است. جرم هر پا برابر m است که مرکز جرم آن در فاصله $[x_{cm} \equiv x_{cm}, y_{cm}, z_{cm}]$ از چارچوب بدنه متصل به قوزک پا قرار دارد. همچنین ممان اینرسی هر پا در چارچوب بدنه حول مرکز جرم آن برابر $[I_{ij}]_{3 \times 3} = I$ فرض می شود.

در حالت کلی راهرونده دارای چهار درجه آزادی است؛ سه درجه آزادی مربوط قرار دارد. این راهرونده دارای ایوان اویلری یعنی φ^5 و θ^6 و ψ^7 بای پای تکیه گاه به سه دوران اویلری یا φ^5 و θ^6 و ψ^7 برای پای تکیه گاه نسبت به زمین و یک درجه آزادی با قیمانده مربوط به زاویه پیچ دوپای نسبت به هم، θ_{sw} است. بر این اساس بردار مختصات تعیین یافته و بردار حالت سیستم عبارتند از:

$$\mathbf{q} = [\varphi, \psi, \theta, \theta_{sw}]^T, \quad \mathbf{x} = [q] \quad (1)$$

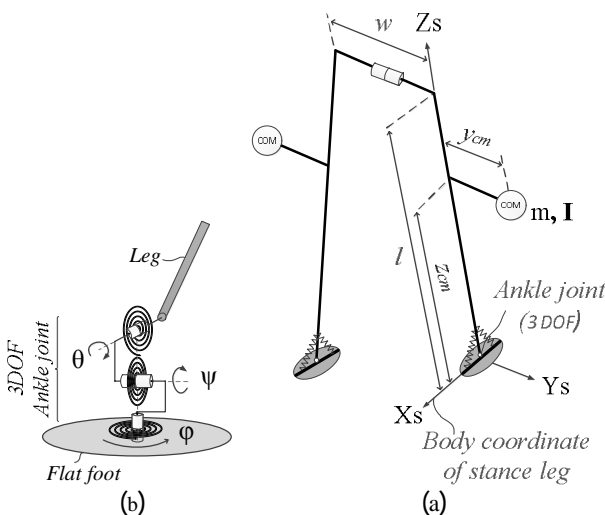


Fig. 1 (a) 3D compass-gait biped model including finite hip width, flat feet and ankle springs. (b) Schematic details of ankle joint owning 3 Euler angle DOFs and related torsional springs

شکل 1(a) مدل پرگاری سه بعدی دارای عرض غیر صفر با کف پای تخت و فنر در قوزک. (b) نمایش شماتیک جزئیات مفصل قوزک پا (اتصال پا به کف پای تخت) دارای سه درجه آزادی اویلری و سه فنر پیچشی متناظر

- 5- Yaw
- 6- Roll
- 7- Pitch

بر مفاهیم سیکل حدی در فضای حالت سیستم بود. از آن پس، تلاش ها برای بهره گیری از این ایده در پایداری و کنترل ربات های دوپا آغاز شد و دسته دیگری از تحقیقات شکل گرفت که تمکز آن ها روی پایداری دینامیکی¹ حول یک سیکل حدی پایدار² بود [5-3]. با این ایده، ربات ها می توانستند به طور قابل ملاحظه ای نسبت به قبل طبیعی تر و با مصرف انرژی کمتر، و البته شبیه انسان، حرکت کنند.

با این وجود، اکثر این تحقیقات معطوف به بررسی و کنترل رامرفتن مستقیم بوده است و صرفا تعداد اندکی از کارها در سال های اخیر «چرخش و راه رفتن در امتداد منحنی» ربات های دوپای پایدار مجانبی را بررسی کرده اند [6-10]. این در حالی است که آمارها نشان می دهد به طور میانگین انسان ها نیاز دارند حدودا هر پنج گام یک بار بچرخدند و در محیط های بیرونی پیچیده مانند رستوران ها بیش از 50% گام ها الزاما همراه چرخش است [11].

روش های ارائه شده تاکنون برای کنترل چرخش ربات های پایدار مجانبی نیز ضمن داشتن پیچیدگی زیاد و نیاز به تنظیمات سخت و دقیق، دارای برخی معایب و محدودیت های عملکردی می باشند. به عنوان مثال در روش دینامیک صفر هایبرید³ [7,6] این محدودیت ها عمدتا از اعمال قیود مجازی به حرکت ربات ناشی می شوند؛ یا در روش کاهش هندسی⁴ [8-10] به سبب عدم ناوردایی سیستم تحت فاز ببرخورد، پایداری تئوری تضمین نمی شود.

اخیرا سیع پور و همکاران در [14-12] توانستند ایده رامرفتن غیرفعال را برای چرخش و حرکت در امتداد مسیر منحنی نیز تعیین دهند. آن ها نشان دادند یک راهرونده دوپا علاوه بر رامرفتن دینامیکی غیرفعال، به طور جالبی می تواند «چرخش دینامیکی غیرفعال» پایدار نیز داشته باشد. این چرخش های غیرفعال در نوع نامحدود خود، روی یک سطح شیبدار بدیع که آن ها «شیب مارپیچ» نامیدند محقق می شوند.

اکنون در تحقیق حاضر، به دنبال بهره گیری مستقیم از این چرخش های غیرفعال و ارائه یک روش کنترل چرخش غیرفعال پایه موثر تر هستیم. برای این منظور روش جذاب شکل دهی انرژی پتانسیل را که پیشتر برای کنترل رامرفتن ربات های دوپای پایدار مجانبی به خوبی ارائه شده است [15-17]، برای کنترل چرخش نیز توسعه می دهیم. به طور کلی در این روش گیت های غیرفعال که روی سطوح با شیب خاص وجود دارند، عینا روی سایر سطوح با شیب دلخواه از جمله سطح افق باز تولید می شوند. با توجه به بهینه بودن گیت های غیرفعال (دارای پایداری مجانبی بدون نیاز به ورودی کنترلی)، می توان گفت گیت های غیرفعال ناشی از باز تولید آن ها نیز حداقل نزدیک به حالت بهینه خواهند بود. لازم به ذکر است مدل ربات دوپای مورد استفاده در این تحقیق، یک مدل پرگاری سه بعدی با کف پای تخت و فنر است که اخیرا توسط مرجع [17] ارائه شده و رامرفتن غیرفعال پایدار و همچنین کنترل رامرفتن آن نشان داده شده اند. در اینجا تلاش ما برآن است که با استفاده از همان مدل مورد استفاده، بتوانیم چرخش ربات را در فضای سه بعدی تضمین نماییم و کنترل کنیم.

با توجه به توضیحات فوق ادامه این مقاله بدین شرح است: ابتدا مدل دوپای مورد استفاده و معادلات دینامیکی آن معرفی می شوند. همچنین به نحوه بررسی حرکت های پریودیک و پایداری آن ها به کمک نگاشت پوانکاره اشاره می شود. سپس چرخش پریودیک غیرفعال مدل حاضر با ذکر یک مثال

1- Dynamic stability

2- Stable limit cycle

3- Hybrid Zero Dynamics

4- Geometric Reduction Method

$$\dot{x} = f(x) + g(x)u := \begin{bmatrix} \dot{q} \\ -M^{-1}(C + G) \end{bmatrix} + \begin{bmatrix} 0 \\ -M^{-1}B \end{bmatrix}u \quad (6)$$

2- فاز دوتکیه‌گاهی یا برخورد (گستته)

این مرحله با رسیدن کفپای معلق به زمین آغاز می‌شود و تا کنده شدن کفپای تکیه‌گاه قبلی از زمین ادامه دارد. در این مرحله هر دوپا در تماس با زمین قرار دارند. مطابق فرض رایج تحقیقات، این فاز بصورت یک برخورد پلاستیک ایده‌آل و آنی فرض می‌شود. بنابراین این مرحله دارای یک دینامیک گستته است که بصورت یک پرش آنی در سرعت‌ها ظاهر می‌شود. نگاشت سرعت‌ها با پیگیری روش تشریح شده در [5] و درنظر گرفتن فرضیات زیر همانند مرجع [18] قابل تعیین است:

- الف- کفپاها بدون جرم و ضخامت فرض می‌شوند. بنابراین نیروی برخورد یا عکس العمل زمین مستقیماً به مفصل قوزک منتقل می‌شود.
- ب- نیروی فنرهای قوزک، محدود و در مقابل نیروهای برخورد قابل صرف‌نظرند.

در این صورت ممتوном زایه‌ای سیستم حین برخورد حول مفصل قوزک پا ثابت می‌ماند.

شرط برخورد نیز، با توجه به فرضیات فوق یا فرض این که کفپا مواری زمین برخورد می‌کند، مشابه مدل کفپا نقطه‌ای خواهد بود. برای تحلیل کامل حرکت، همچنین در انتهای هر قدم لازم است نقش متغیرهای حالت، متناسب با تغییر نقش پای تکیه‌گاه و پای معلق با یکدیگر تعویض شود. با ترکیب این نگاشت و نگاشت سرعت‌های قبل، نگاشت کلی فاز برخورد به صورت رابطه (7) قابل بیان است:

$$x^+ = \Delta(x^-) \quad (7)$$

3- مدل هایبرید نهایی

درنهایت با درنظر گرفتن معادلات فازهای تک‌تکیه‌گاهی و برخورد، روابط (6) و (7)، برای هر قدم چپ و راست و یکپارچه کردن آن‌ها، مدل نهایی یک گام حرکت را مروnde به صورت رابطه (8) قابل بیان است. در ادبیات فن، چنین سیستمی که شامل پدیده‌های پیوسته و گستته همزمان است، در حقیقت یک سیستم هایبرید دو حوزه‌ای³ را تشکیل می‌دهد.

$$\begin{cases} k+1\dot{x} = f_1(k+1x) + g_1(k+1x)k+1u & k+1x^- \notin S_1 \\ k+1x^+ = \Delta_1(k+1x^-) & k+1x^- \in S_1 \\ k+2\dot{x} = f_2(k+2x) + g_2(k+2x)k+2u & k+2x^- \notin S_2 \\ k+2x^+ = \Delta_2(k+2x^-) & k+2x^- \in S_2 \end{cases} \quad (8)$$

در روابط فوق، S_1 سطح گذار بیانگر یک ابرسطح در فضای حالت است که فاز برخورد روی آن شکل می‌گیرد و در عالم فیزیکی معادل شرط برخورد است. جزئیات بیشتر درباره معادلات حرکت و نحوه استخراج آن‌ها بخاطر محدودیت فضا صرف نظر شده و در مرجع [17] قابل مشاهده‌اند.

3- تحلیل حرکت‌های پریودیک

در اینجا باه دنبال حرکت‌هایی هستیم که را مروnde با شروع از یک حالت اولیه در شروع گام، دوباره دقیقاً به همان حالت در انتهای گام برگرد. چنین حرکتی که در واقع بیانگر یک سیکل حدی در فضای حالت سیستم است، حرکت پریودیک⁴ گفته می‌شود. اگر سیکل حدی مذکور پایدار مجازی باشد، این حرکت می‌تواند الی‌الا بد ادامه یابد. در حقیقت مجموع انرژی مکانیکی سیستم حین یک حرکت پریودیک همواره ثابت است. یعنی حین یک سیکل،

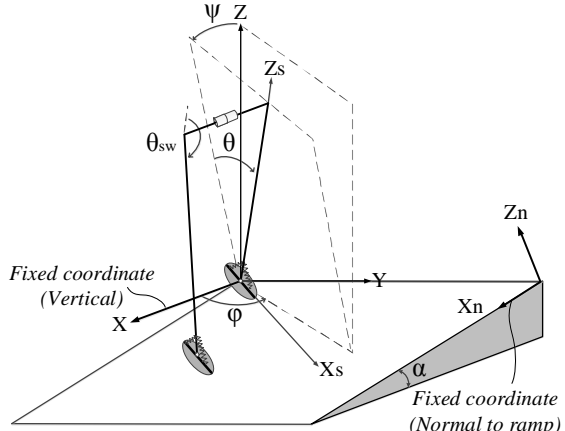


Fig. 2 Representing 4 DOFs of biped walker in general case

شکل 2 نمایش چهار درجه آزادی مدل را مروnde دوپا در حالت کلی

از آنجا که ربات دارای عرض غیرصفراً است، یک گام¹ کامل حرکت از دو قدم² متواالی تشکیل می‌شود. یک قدم وقتی که پای چپ و قدم بعدی وقتی که پای راست نقش تکیه‌گاه را ایفا می‌کند. بهطور کلی هر قدم نیز شامل دو مرحله یا فاز حرکت تک‌تکیه‌گاهی و دوتکیه‌گاهی است که در ادامه به آنها می‌پردازیم.

2- فاز تک‌تکیه‌گاهی (پیوسته)

در این مرحله یک پا روی زمین قرار دارد (پای تکیه‌گاه) و پای دیگر در فضا معلق است (پای معلق یا آونگی). در این حالت مدل حول کفپای تکیه‌گاه حرکت می‌کند و دارای دینامیک پیوسته است. با استفاده از لاغرانژ، معادلات این فاز در نهایت قابل استخراج است. در نمونه فعل فرض می‌شود چهار درجه آزادی ربات بطور متناظر توسط چهار موتور محرکه کنترل می‌شوند. بنابراین بردار گشتاورهای ورودی کنترلی در این حالت عبارت است از:

$$U: = [u_\varphi, u_\psi, u_\theta, u_{\theta_{sw}}]^T \quad (2)$$

همچنین اثر فنرهای پیچشی را می‌توان بصورت ورودی کنترلی مستقل در معادلات لاغرانژ بصورت رابطه (3) در نظر گرفت

$$U_k = - \begin{bmatrix} k_\varphi(\varphi - \varphi_0) \\ k_\psi(\psi - \psi_0) \\ k_\theta(\theta - \theta_0) \\ 0 \end{bmatrix} \quad (3)$$

که k_φ ، k_ψ و k_θ سختی پیچشی فنرهای φ_0 ، ψ_0 و θ_0 زوایای مربوط به حالت تعادل فنرها هستند. لازم به ذکر است سطح کفپا به اندازه کافی بزرگ در نظر گرفته می‌شود به طوری که در این فاز با تامین اصطکاک کافی (لویژه در جهت یاوه) هرگز نلغزد، ضمن آن که همواره مرکز فشار عکس العمل زمین درون آن قرار گیرد و از زمین بلند نشود. در نهایت معادلات این فاز به صورت رابطه کلی (5) قابل بیان هستند

$$\frac{d}{dt} \frac{\partial T}{\partial \dot{q}} - \frac{\partial T}{\partial q} + \frac{\partial U}{\partial q} = Bu \quad (4)$$

$$\Rightarrow M(q)\ddot{q} + C(q,\dot{q}) + G(q) = B(q)u \quad (5)$$

که T و U به ترتیب انرژی جنبشی و پتانسیل، M ماتریس اینرسی، C ماتریس کریولیس و G بردار گرانش می‌باشند. همچنین بیان این معادلات در فرم فضای حالت عبارتست از:

3- Two-domain hybrid system

4- Periodic gait

1- Stride
2- Step

جدول ۱ پارامترهای ربات استفاده شده در شبیه سازی ها

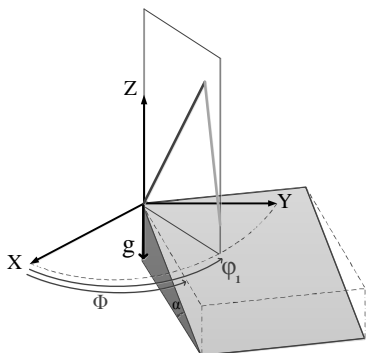
Table 1 Robot's parameters used in simulations

نام پارامتر	مقدار پارامتر	نام پارامتر	مقدار پارامتر
I_{XX}	0.1982	w	0.3624
I_{YY}	0.0186	x_{cm}	0
I_{ZZ}	0.1802	y_{cm}	0.6969
I_{XY}	0.0071	z_{cm}	0.3137
I_{XZ}	-0.0023	k_ϕ	0
I_{YZ}	0.0573	k_ψ	0
		k_θ	0.2472

$$\begin{aligned} \bar{x}^* = & [0.06002, -0.00475, -0.07490, 3.40706, \\ & \varphi^* = \varphi^* - \Phi^* \\ & -0.12408, -0.03750, 0.40420, -0.38573]^T \end{aligned} \quad (12)$$

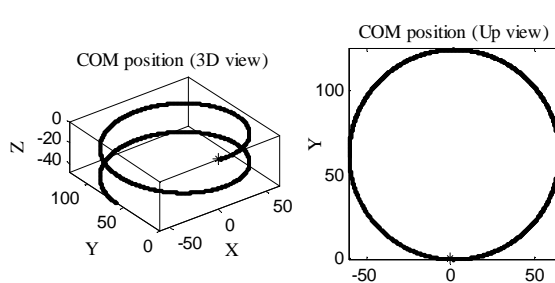
که مربوط به چرخش پریودیک غیرفعال روی گوه مارپیچ با مشخصات $\alpha = 0.0702$, $\omega^* = 0.00374634$ است. α شبیه مولد گوه مارپیچ است و ω^* بیانگر سرعت چرخش شبیه مولد حول محور قائم در گوه مارپیچ که بطور معادل برابر سرعت چرخش³ راهرونده می باشد. در معرفی نقطه ثابت فوق، همانگونه که مشاهده می شود، اختلاف زاویه جهتگیری شبیه مولد سطح، Φ , با زاویه جهتگیری راهرونده، φ , مقداری ثابت است که به آن زاویه جهتگیری سبب می گوییم [12] یعنی $\Phi - \varphi = \varphi$ (شکل 4).

نتایج شبیه سازی حرکت راهرونده با شروع از شرایط اولیه \bar{x}^* روی شبیه مارپیچ مذکور، برای 3000 قدم در شکل 5 نشان داده شده است. همانگونه



شکل 4 نمایش اختلاف زاویه جهتگیری راهرونده با جهتگیری شبیه مولد در یک چرخش غیرفعال روی گوه مارپیچ

شکل 4 نمایش اختلاف زاویه جهتگیری راهرونده با جهتگیری شبیه مولد در یک چرخش غیرفعال روی گوه مارپیچ



شکل 5 نمونه ای از چرخش نامتناهی غیرفعال روی گوه مارپیچ (مودار مکان مرکز جرم حین 3000 قدم)

3- velocity of turn

انرژی ورودی به سیستم دقیقاً برابر اتلاف انرژی آن (ناشی از برخورد) است. [19]

روش مرسوم برای بررسی وجود حرکتهای پریودیک سیستم هایبرید و تحلیل پایداری آن، استفاده از تحلیل نگاشت پوانکاره¹ است. نگاشت پوانکاره نگاشتی است که بردار حالت ابتدای هر گام، x^{k+2} , را به بردار حالت انتهایی آن گام، x^{k+1} , می نگارد یعنی:

$$x^{k+2} = P(x^k) \quad (9)$$

وجود هر نقطه ثابت نگاشت پوانکاره فوق، یعنی x^* به طوری که:

$$x^* = P(x^*) \quad (10)$$

معرف وجود یک حرکت پریودیک رامروند است. بنابراین نقاط ثابت مذکور از حل معادله $x^* = P(x^*) - x^* = 0$ به روش بهینه سازی عددی قابل تعیین هستند.

برای تحلیل پایداری حرکت پریودیک نیز می توان از تحلیل ژاکوبین نگاشت پوانکاره حول نقطه ثابت مربوطه استفاده کرد یعنی

$$x^{k+2} = J^k x^* \quad (11)$$

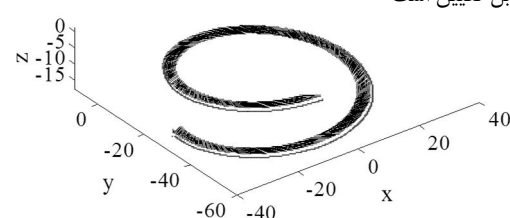
در صورتی که هیچ کدام از مقادیر ویژه ماتریس ژاکوبین، J خارج دایره واحد نباشد، یعنی دارای اندازه کمتر از یک باشد، نقطه ثابت مذکور مشخص کننده یک حرکت پریودیک پایدار مجانبی است.

4- چرخش غیرفعال

مشابه مرجع [12] می توان نشان داد، مدل راهرونده معروفی شده در اینجا نیز به ازای مقادیر مناسبی از سختی فرها دارای حرکت پریودیک غیرفعال از نوع چرخش نامحدود روی سطح خاصی است که به آن گوه مارپیچ گوییم. گوه مارپیچ، مطابق شکل 3، سطحی است که از چرخاندن یک خط مولد شبیه دار (که نمایانگر گوه مارپیچ است) حول یک محور قائم مانند Z ایجاد می شود. جهت شبیه مولد نسبت به محور X در هر لحظه با زاویه $\varphi = \omega^* t$ نشان داده می شود که مطابق ادماه، ω^* معادل سرعت چرخش و t زمان بی بعد شده بر حسب پارامترهای ربات است. جزیيات بیشتر درباره گوه مارپیچ و چرخش های غیرفعال در [13,12] قابل مطالعه هستند. ادامه با ذکر یک مثال عددی به توضیح بیشتر این نوع حرکت خواهیم پرداخت.

چرخش نامحدود غیرفعال در واقع بیانگر وجود دسته ای از نقاط ثابت سه بعدی برای نگاشت پوانکاره سیستم است. برای نمونه مدل با پارامترهای مشخص شده در جدول 1 را در نظر گیرید.

با مدل سه بعدی آن به روش بهینه سازی عددی (تا مرتبه 10^{-5}) مطابق رابطه (12) قابل تعیین است



شکل 3 نمونه ای از سطح بدین «گوه مارپیچ» که چرخش غیرفعال راهرونده دو پا روی آن تحقق می یابد [12]

همچنین برای اثبات پایداری این حرکت پریودیک، مقادیر ویژه ماتریس ژاکوبین نگاشت پوانکاره حول نقطه ثابت مذکور تعیین می‌گردند که عبارتند از:

$$\lambda_i = -0.0007, 0.0900, -0.2276 \pm 0.2982i, 0.4035 \pm 0.3766i, 0.7223 \pm 0.2838i \quad (13)$$

باتوجه به این که همه مقادیر ویژه درون دایره واحد قرار دارند و اندازه آنها کمتر از ۱ است ($|\lambda_i| < 1$)، بنابراین حرکت پریودیک مذکور پایدار مجانبی است.

۵- کنترل چرخش به روش شکل دهی انرژی پتانسیل

در مرجع [17] کنترل غیرفعال پایه را در فتن ربات مورد مطالعه با استفاده از روش شکل دهی انرژی پتانسیل را بحث نمودیم. در اینجا روش مذکور را برای «کنترل چرخش» پایدار مجانبی آن روی گوه مارپیچ با شبی دلخواه از جمله سطح افق توسعه می‌دهیم. لازم به ذکر است سطح افق در واقع یک حالت خاص گوه مارپیچ است ولی با شبی مولد صفر. ابتدا به طور متناظر، تعریفها و نتایج زیر را بیان می‌کنیم.

منظور از «تغییر شبی سطح» در اینجا در حقیقت یک گروه عمل $SO(3) \subseteq SO(4)$ است که هر نقطه x از گوه مارپیچ با شبی مولد α_1 (شبی پیرامونی K_1) را به نقطه Ax روی گوه مارپیچ با شبی مولد دلخواه α_2 (شبی پیرامونی K_2) می‌نگارد. شکل ۹ حالت خاص این تغییر شبی شبی مولد سطح به شبی صفر را نمایش می‌دهد. همچنین شکل ۱۰، تبدیل گوه مارپیچ مربوطه به سطح افق (گوه مارپیچ با شبی مولد صفر) در نتیجه تغییر شبی مولد مذکور را نشان می‌دهد.

$$F: SO(3) \times Q \longrightarrow Q; F(A, \alpha) = F_A(\alpha) \quad (14)$$

متعاقباً عمل تغییر شبی توسعه یافته TF در فضای سرعت‌ها معرفی می‌شود.

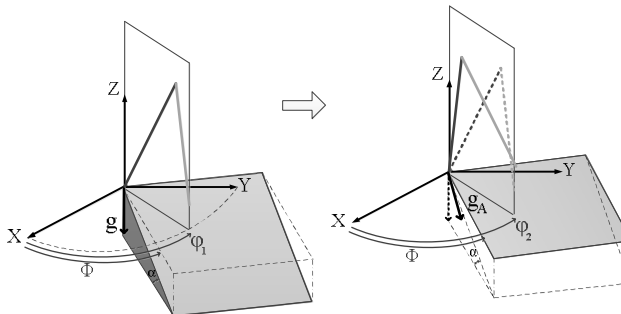


Fig. 9 Representation of change in productive slope of helical ramp and convert it to zero slope (for example).

شکل ۹ نمایش تغییر شبی مولد گوه مارپیچ و تبدیل آن به شبی صفر (برای نمونه)

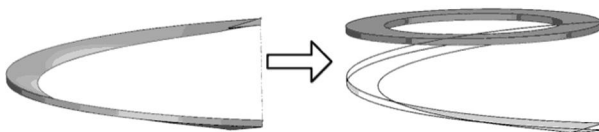


Fig. 10 converting helical ramp to level ground due to changing its productive slope to zero as previous figure (for example)

شکل ۱۰ نمایش تبدیل گوه مارپیچ به سطح افق در نتیجه تغییر شبی مولد آن به صفر مطابق شکل قبل (برای نمونه)

2- Slope changing action

که مشاهده می‌شود، جایه‌جایی مرکز جرم در امتداد یک منحنی مارپیچ به خوبی نشان دهنده وقوع چرخش نامتناهی با شعاع چرخش^۱ ثابت روی سطح مارپیچ مذکور است. سایر نتایج چرخش غیرفعال برای یک گام (دو قدم متولی) یا یک چرخه حرکت پریودیک در شکل‌های ۶ تا ۸ آورده شده‌اند.

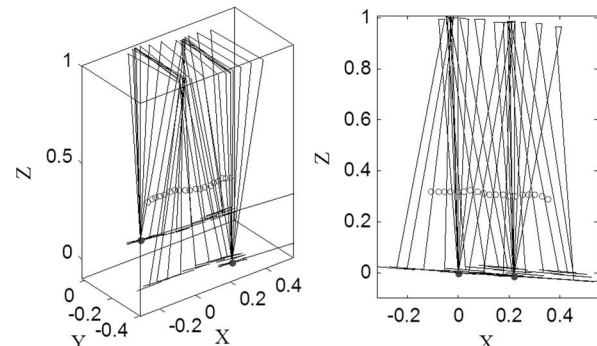


Fig. 6 Snapshots of one stride (two steps) of passive turning on helical ramp. COM of the walker has shown by 'o' marker.

شکل ۶ مجموعه تصاویر یک گام (دو قدم متولی) چرخش غیرفعال روی گوه مارپیچ. مرکز جرم را رونده با علامت 'O' مشخص شده است.

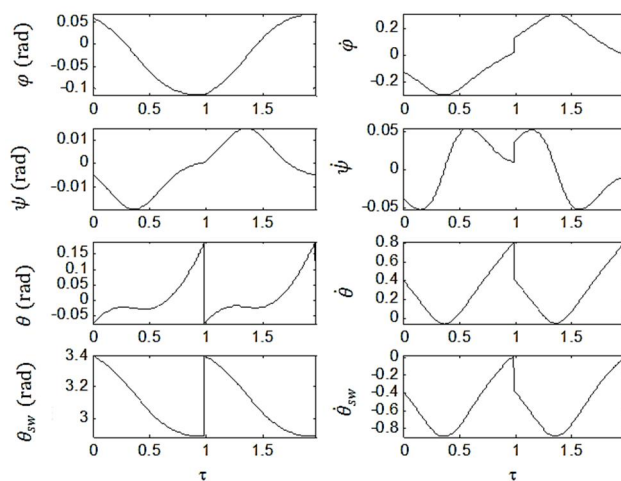


Fig. 7 State variables over one stride (two steps) of passive turning on helical ramp. All variables are represented non-dimensionally.

شکل ۷ متغیرهای حالت هنین یک گام (دو قدم متولی) چرخش غیرفعال روی گوه مارپیچ. همه متغیرها بصورت بی بعد نمایش داده شده‌اند.

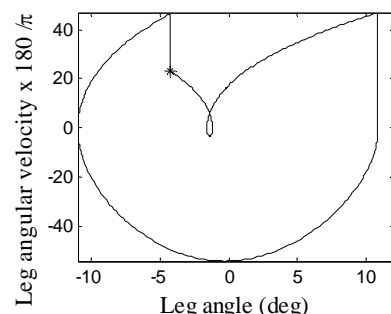


Fig. 8 Phase plot of one leg's pitch angle over one stride (two steps) of passive turning on helical ramp

شکل ۸ نمودار فاز زاویه پیچ هر پا حین یک گام (دو قدم متولی) چرخش غیرفعال روی گوه مارپیچ

بنابراین به کمک قضیه فوق می‌توان گیت‌های پریودیک چرخش راهروندۀ غیرفعال که صرفاً روی یک گوه مارپیچ با شیب خاص وجود دارد را روی هر گوه مارپیچ دیگر با شیب دلخواه (از جمله حالت خاص: سطح افق) بازتولید نمود. به عبارت دیگر یک فیدبک کنترلی مناسب مانند قانون کنترلی فوق، می‌تواند حساسیت گیت پریودیک چرخش غیرفعال را نسبت به شیب گوه مارپیچ، بطور کامل برطرف کند.

6-مثال: کنترل چرخش روی سطح افق

در این قسمت نتایج پیاده‌سازی روش کنترل فوق برای چرخش ربات پرگاری سه‌بعدی مورد مطالعه نشان داده می‌شود. به عنوان نمونه فرض کنیم می‌خواهیم یک چرخش پریودیک غیرفعال که روی گوه مارپیچ با شیب مولد $\alpha_1 = \alpha$ وجود دارد، روی سطح افق $\alpha_2 = 0$ بازتولید شود. مطابق قضیه بخش قبل، برای این منظور لازم است از قانون کنترل فیدبکی رابطه (16) استفاده کیم.

نگاشت متغیرهای تعمیم‌یافته تحت عمل تغییر شیب، $F_A(q)$ ، با معادل قراردادن توصیف پای تکیه‌گاه در چارچوب بدنه متصل به آن، برحسب متغیرهای تعمیم‌یافته قلی روی گوه مارپیچ (شیب مولد $\alpha = \alpha_1 = \alpha_2 = 0$) از سوی و متغیرهای تعمیم‌یافته فعلی روی سطح افق (شیب مولد $\alpha_2 = 0$) از سوی دیگر، مطابق رابطه (19) قابل تعیین است

$$R_\Phi^T R_1^T = R_\Phi^T A^T R_2^T \rightarrow R_2^T = A R_1^T \text{ or } R_2 = R_1 A^T \quad (19)$$

که R_1 و R_2 ماتریس دوران 3-1-2 اوپلر به ترتیب برحسب متغیرهای تعمیم‌یافته قبلی و فعلی هستند. A ماتریس تغییر شیب مولد است که در اینجا عبارتست از دوران به اندازه $-\alpha = \alpha_2 - \alpha_1 = -\alpha$ حول محور γ (عکس ماتریس دوران به اندازه α حول محور γ استفاده شده در جزو). R_Φ نیز ماتریس دوران به اندازه Φ حول محور Z می‌باشد.

همچنین تابع انرژی پتانسیل ربات عبارت است از:

$$U(q) = -m \sum_{i=1}^2 g_i r_{cm,i} = -(wS\psi - C\psi C\theta) \quad (20)$$

که بردار گرانش و $r_{cm,i}$ بردار موقعیت مرکز جرم پای نام می‌باشند. منظور از $C\theta$ نیز تابع

$$C\theta = (1 + z_{cm})C\theta + (1 - z_{cm})C(\theta + \theta_{sw}) \quad (21)$$

است. تابع انرژی پتانسیل تغییریافته، $U(F_A(q)) = U(q)$ ، را نیز می‌توان به طور مستقیم براساس تعبیر هندسی و با استفاده از بردار گرانش مجازی g_A محاسبه کرد. بردار گرانش مجازی مطابق شکل 11 دارای زاویه $\alpha = -\delta\alpha$ است. لذا نسبت به سطح افق و زاویه جهت‌گیری Φ نسبت به محور X است. لذا توصیف آن در چارچوب چارچوب بدنه پای تکیه‌گاه عبارت است از:

$$g_A = R_2 R_{\alpha\Phi} g_{XYZ} = g R_2 \begin{bmatrix} S\alpha C\Phi \\ S\alpha S\Phi \\ -C\alpha \end{bmatrix} \quad (22)$$

و در نتیجه خواهیم داشت:

$$U(F_A(q)) = -m \sum_{i=1}^2 g_A \cdot r_{cm,i} = -S\alpha(wS\varphi C\psi + C\varphi S\theta + S\varphi S\psi C\theta) - C\alpha(wS\psi - C\psi C\theta) \quad (23)$$

منظور از $S\theta$ تابعی مشابه $C\theta$ بصورت رابطه (24) می‌باشد.

$$S\theta = (1 + z_{cm})S\theta + (1 - z_{cm})S(\theta + \theta_{sw}) \quad (24)$$

بر این اساس قضیه زیر قابل اثبات است:

قضیه: اگر معادلات لاگرانژ فاز تک تکیه‌گاهی ربات در حالت کلی بصورت

$$M(q)\ddot{q} + C(q, \dot{q}) + G(q) = B(q)U \quad (15)$$

فرض شوند و $Q \rightarrow [0, t]$: یک مسیر چرخش نامحدود را محدود

غیرفعال ($U = 0$) روی گوه مارپیچ با شیب خاص باشد، آن‌گاه یک مسیر حل

چرخش نامحدود ربات روی گوه مارپیچ با شیب دلخواه نیز بصورت

$$Q \rightarrow [0, t] \text{ است که با استفاده از } F_A \circ \eta: U_A = B^{-1}(G(q) - G(F_A(q))) = B^{-1}\frac{\partial}{\partial q}(U(q) - G(F_A(q))) \quad (16)$$

قابل دست‌یابی است

$$U_A = B^{-1}(G(q) - G(F_A(q))) = B^{-1}\frac{\partial}{\partial q}(U(q) - G(F_A(q))) \quad (16)$$

در اینجا F_A گروه عمل تغییر شیبی است که متناظر با تبدیل گوه مارپیچ حرکت غیرفعال به گوه مارپیچ جدید با شیب دلخواه برای حرکت فعال یا کنترل شده می‌باشد. همچنین $U_A = U(F_A(q))$ انرژی پتانسیل تغییریافته تحت عمل تغییر شیب مذکور است.

اثبات: در معادلات فاز تک تکیه‌گاهی، با بردن ورودی کنترلی به سمت چپ و جایگزینی آن از رابطه فوق، داریم:

$$\frac{d}{dt} \frac{\partial T}{\partial q} - \frac{\partial T}{\partial q} + \frac{\partial U}{\partial q} - BU_A = \frac{d}{dt} \frac{\partial T}{\partial q} - \frac{\partial T}{\partial q} + \frac{\partial U_A}{\partial q} = 0 \quad (17)$$

با توجه به این که انرژی جنبشی تحت عمل تغییر شیب ناوردا² است [17]

یعنی $T = T(F_A(q), \dot{T}F_A(q)) = T_A$: بنابراین رابطه فوق بطور معادل رابطه (18) را نتیجه می‌دهد:

$$\frac{d}{dt} \frac{\partial T_A}{\partial q} - \frac{\partial T_A}{\partial q} + \frac{\partial U_A}{\partial q} = 0 \quad (18)$$

بنابراین می‌توان گفت η یک مسیر حل برای فاز تک تکیه‌گاهی یک سیستم غیرفعال معادل روی گوه مارپیچ با شیب دلخواه جدید است. از آنجا که نگاشت ضربه پلاستیک ایده‌آل نیز تحت عمل تغییر شیب هم‌وردا³ است [17]، بنابراین حل مذکور در نهایت یک حل برای سیستم حلقة بسته کامل روی شیب دلخواه جدید - حتی پس از تأثیر ضربه - خواهد بود (پایان اثبات).

در تفسیر فیزیکی قضیه باید گفت با اعمال ورودی کنترلی فوق به ربات روی گوه مارپیچ جدید، در حقیقت بردار گرانش قائم قبلی حذف شده و به جای آن یک بردار گرانش مجازی جدید به نام g_A بصورت مایل - با زاویه معادل نسبت به محور قائم - ولی هم‌راستا با تنتزین شیب گوه مارپیچ قبل به سیستم اعمال می‌شود. راستای این بردار گرانش مجازی متناسب با تغییر راستای شیب مولد گوه مارپیچ، یعنی $\omega^*\tau$ ، حول محور قائم تغییر می‌کند. به عنوان مثال، شکل 11 بردار گرانش مجازی را برای حالت خاص

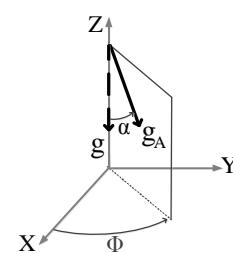


Fig. 11 Schematic of change in heading and azimuth angle of gravity vector and creating a virtual gravity vector which can revolve around vertical axis

شکل 11 شماتیک تغییر زاویه و جهت‌گیری بردار گرانش قائم و ایجاد یک بردار گرانش مجازی که می‌تواند حول محور قائم بچرخد

1- Solution trajectory
2- Invariant
3- Equivariant

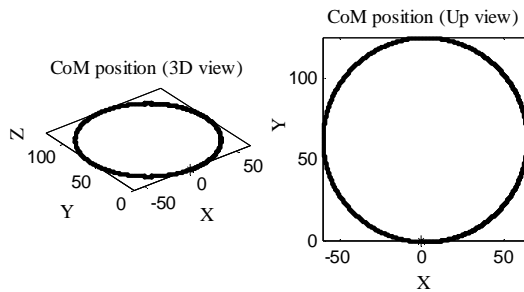


Fig. 12 Robot's COM position over 2400 steps of controlled turning on level ground

شکل 12 نمودار مکان جابه جایی مرکز جرم ربات حین 2400 قدم چرخش کنترل شده روی سطح افق

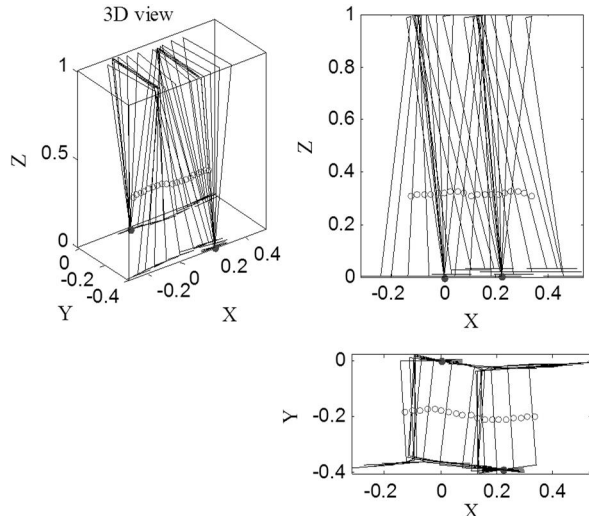


Fig. 13 Snapshots of one stride (two steps) of controlled turning of robot on level ground

شکل 13 مجموعه تصاویر یک گام (دو قدم متواالی) چرخش کنترل شده ربات روی سطح افق

است مقادیر فوق بی بعد هستند. لازم به یادآوری است مقادیر فوق بی بعد هستند. برای یک مثال عملی در صورتی که هر پای ربات دارای جرم 1 کیلوگرم و طول 1 متر باشد، ماکریزم گشتاور تنها در حدود 0.48 نیوتن متر خواهد بود.

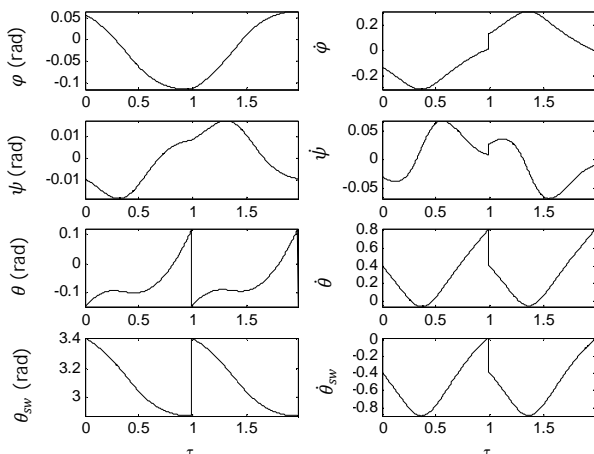


Fig. 14 State variables over one stride (two steps) of controlled turning of robot on level ground

شکل 14 نمودار تغییر متغیرهای حالت حین یک گام (دو قدم متواالی) از چرخش کنترل شده ربات روی سطح افق

با فرض تمام فعال بودن ربات، بردار گشتاورهای کنترلی و ماتریس ضرایب آن به ترتیب بصورت $\mathbf{U} = [u_\varphi, u_\psi, u_\theta, u_{\theta_{sw}}]^T$ در نظر گرفته می شوند. اکنون با جایگزینی عبارت های بدست آمده قبل در رابطه قانون فیدیکی (16) و سپس ساده سازی، گشتاورهای کنترلی متناظر با هر درجه آزادی ربات بدست می آیند که عبارتند از:

$$\begin{aligned} u_\varphi &= Sa(wC\varphi C\psi - S\varphi S\theta + C\varphi S\psi C\theta) \\ u_\psi &= -Sa(wS\varphi S\psi - S\varphi C\psi C\theta) + (1 - Ca)(wC\psi + S\psi C\theta) \\ u_\theta &= Sa(C\varphi C\theta - S\varphi S\psi S\theta) - (1 - Ca)(C\psi S\theta) \\ \frac{u_{\theta_{sw}}}{(1 - z_{cm})} &= Sa(C\varphi C(\theta + \theta_{sw}) - S\varphi S\psi S(\theta + \theta_{sw})) \\ &\quad - (1 - Ca)(C\psi S(\theta + \theta_{sw})) \end{aligned} \quad (25)$$

به عنوان مثال عددی می خواهیم ربات مذکور روی سطح افق $\alpha_2 = 0$ به گونه ای بچرخد که چرخش پریودیک معادل مدل غیرفعال روی گوه مارپیچ $\{\alpha_1 = 0.0702, \omega^* = 0.003746\}$ (یعنی شده در فصل قبل). باز تولید شود. شرایط اولیه لازم برای چنین حرکتی از روی شرایط اولیه گیت چرخش پریودیک غیرفعال و یا با استفاده از حدس اولیه و بهینه سازی عددی بصورت رابطه (26) قابل محاسبه است:

$$\begin{aligned} \bar{x}^*|_{\alpha_2 = 0} &= F_A \circ \bar{x}^*|_{\alpha_1 = 0.0702} \\ &= [\begin{array}{c} 0.0592, -0.00906, -0.14514, 3.40705, \\ \bar{\varphi}^* = \varphi^* - \Phi^* \\ -0.12639, -0.02850, 0.40354, -0.38567 \end{array}]^T \end{aligned} \quad (26)$$

که در لحظه بلا فاصله بعد از برخورد پای چپ بیان شده است. نقطه ثابت فوق در واقع نشان دهنده موقعیت چرخش غیرفعال پریودیک روی سطح افق $\alpha_2 = 0$ با همان سرعت چرخش $\omega^* = 0.003746$ است (یعنی عبارت دیگر روی گوه دلخواه با مشخصات $\{\alpha_2 = 0, \omega^* = 0.003746\}$). نتایج چرخش کنترل شده با شروع از شرایط اولیه فوق روی سطح افق، در شکل های ادامه نشان داده شده اند که مشابه نتایج چرخش غیرفعال بخش 4 هستند.

شکل 12 جابه جایی مرکز جرم ربات کنترل شده طی 2400 قدم را نشان می دهد. حرکت مرکز جرم در امتداد دایره به خوبی نشان دهنده تحقق چرخش نامتناهی با شعاع چرخش ثابت موردنظر است.

همچنین سایر جزییات یک سیکل چرخش پریودیک فوق یعنی یک گام (دو قدم متواالی) در شکل های 13 تا 16 قابل مشاهده اند. لازم به ذکر است طبق شکل 13 و 14، میانگین زاویه کجی جانبی ربات حین یک گام، غیر صفر است ($\psi \neq \psi_{av}$) و نشان می دهد حین چرخش، بدن به سمت مرکز چرخش تمایل دارد. این واقعیت با مطالعات بیولوژیکی درباره چرخش انسان مطابقت دارد [12].

مقایسه نمودار فاز زاویه پیچ یک پای نسبت به محور قائم برای چرخش کنترل شده روی سطح افق $\alpha = 0$ و چرخش غیرفعال معادل رول روی گوه مارپیچ با شبیه مولد $\alpha = 0.0702$ در شکل 16 ارائه شده است. مشاهده می شود سرعت و دامنه تغییر زاویه پیچ در هر دو مورد یکسان است و صرفا مقادیر زاویه پیچ عوض شده است (نمودار فاز در امتداد محور زاویه جابه جایی شده است).

همچنین گشتاورهای ورودی کنترلی استفاده شده برای ایجاد چنین چرخش پریودیکی در شکل 15 قابل مشاهده اند. با مقایسه اندازه گشتاورها بصورت قدر مطلق مشخص می شود، بیشترین گشتاور مصرفی مربوط به تغییر زاویه پیچ پاها در صفحه سرتیمال یعنی $u_{\theta_{sw}}$ و u_θ است که به ترتیب در حدود 0.048 و 0.045 می باشند. کمترین گشتاور نیز مربوط به تغییر زاویه رول جانبی ربات یعنی u_ψ است که در حدود 0.005 می باشد. لازم به یادآوری

روی سطح افق نیز حداقل نزدیک به حالت بهینه است. در کارهای آینده امید است برنامه ریزی و کنترل مسیر ربات روی مسیرهای پیچیده تر کیمی بصورت غیرفعال یا پایدار مجانبی مورد بحث قرار گیرد.

8- مراجع

- [1] T. McGeer, Passive walking with knees, in *Proceeding of IEEE International Conference on Robotics and Automation*, IEEE, pp. 1640-1645, 1990.
- [2] T. McGeer, Passive dynamic walking, *The International Journal of Robotics Research*, Vol. 9, No. 2, pp. 62-82, 1990.
- [3] T. McGeer, Dynamics and control of bipedal locomotion, *Journal of Theoretical Biology*, Vol. 163, pp. 277-314, 1993.
- [4] A. Goswami, B. Espiau, A. Keramane, Limit cycles in a passive compass gait biped and passivity-mimicking control laws, *Autonomous Robots*, Vol. 4, No. 3, pp. 273-286, 1997.
- [5] J. W. Grizzle, G. Abba, F. Plestan, Asymptotically stable walking for biped robots: Analysis via systems with impulse effects, *Automatic Control, IEEE Transactions on*, Vol. 46, No. 1, pp. 51-64, 2001.
- [6] C.-L. Shih, J. W. Grizzle, C. Chevallereau, From stable walking to steering of a 3D bipedal robot with passive point feet, *Robotica*, Vol. 30, No. 07, pp. 1119-1130, 2012.
- [7] C. Chevallereau, J. Grizzle, C. L. Shih, Steering of a 3d bipedal robot with an underactuated ankle, in *Proceeding of Intelligent Robots and Systems (IROS), 2010 IEEE/RSJ International Conference on*, pp. 1242-1247, 2010.
- [8] R. D. Gregg, A. K. Tilton, S. Candido, T. Bretl, M. W. Spong, Control and Planning of 3-D Dynamic Walking With Asymptotically Stable Gait Primitives, *IEEE Transactions on Robotics*, Vol. 28, No. 6, pp. 1415-1423, 2012.
- [9] R. D. Gregg, M. W. Spong, Reduction-based control of three-dimensional bipedal walking robots, *The International Journal of Robotics Research*, Vol. 29, No. 6, pp. 680-702, 2010.
- [10] R. D. Gregg, M. W. Spong, Bringing the compass-gait bipedal walker to three dimensions, in *Proceeding of Intelligent Robots and Systems, 2009. IROS 2009. IEEE/RSJ International Conference on*, pp. 4469-4474, 2009.
- [11] G. J. Williams, *Development of a leg extension mechanism designed for gait parameter manipulation and turning of a 2d biped walking machine*, M.Sc. Thesis, Mechanical Engineering, University of Kansas, United States, 2011.
- [12] M. R. Sabaapour, M. R. Hairi Yazdi, B. Beigzadeh, Passive dynamic turning in 3D biped locomotion: an extension to passive dynamic walking, *Advanced Robotics*, Vol. 30, No. 3, pp. 218-231, 2016.
- [13] M. Sabaapour, M. Hairi Yazdi, B. Beigzadeh, Passive turning motion of 3D rimless wheel: novel periodic gaits for biped curved walking, *Advanced Robotics*, Vol. 29, No. 5, pp. 375-384, 2015.
- [14] M. R. Sabaapour, M. R. Hairi-Yazdi, B. Beigzadeh, Towards Passive Turning in Biped Walkers, *Procedia Technology*, Vol. 12, No. 0, pp. 98-104, 2014.
- [15] M. W. Spong, G. Bhatia, Further results on control of the compass gait biped, in *Proceeding of Intelligent Robots and Systems, 2003. (IROS 2003). Proceedings. 2003 IEEE/RSJ International Conference on*, IEEE, pp. 1933-1938, 2003.
- [16] M. W. Spong, Passivity based control of the compass gait biped, in *Proceeding of IFAC World Congress*, Citeseer, pp. 19-24, 1999.
- [17] M. R. Hairi-Yazdi, M. R. Sabaapour, B. Beigzadeh, Asymptotically stable walking control of a 3D biped robot via potential energy shaping approach, *Modares Mechanical Engineering*, Vol. 15, No. 9, pp. 261-270, August, 2015. (in Persian)
- [18] K. Farrell, C. Chevallereau, E. Westervelt, Energetic effects of adding springs at the passive ankles of a walking biped robot, in *Proceeding of IEEE International Conference on Robotics and Automation*, IEEE, pp. 3591-3596, 2007.
- [19] B. Beigzadeh, A. Meghdari, S. Sohrabpour, Passive dynamic object manipulation: A framework for passive walking systems, *Proceedings of the Institution of Mechanical Engineers, Part K: Journal of Multi-body Dynamics*, Vol. 227, No. 2, pp. 185-198, 2013.

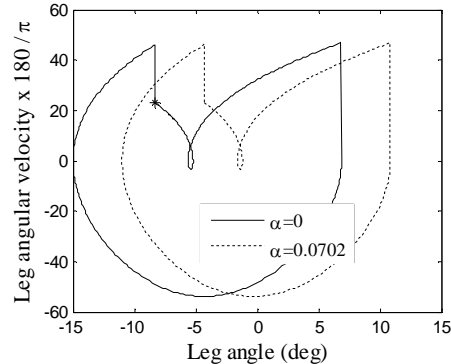


Fig. 16 Comparison of phase plot of one leg's pitch angle over one stride (two steps). Dashed-line: passive turning on helical ramp, Solid-line: equal controlled turning on level ground

شکل 16 مقایسه نمودار زاویه پیچ هرپا حین یک گام (دو قدم متواالی). خطچین: چرخش غیرفعال راهروند روى گوه مارپیچ، خطپر: چرخش کنترل شده معادل روی سطح افق

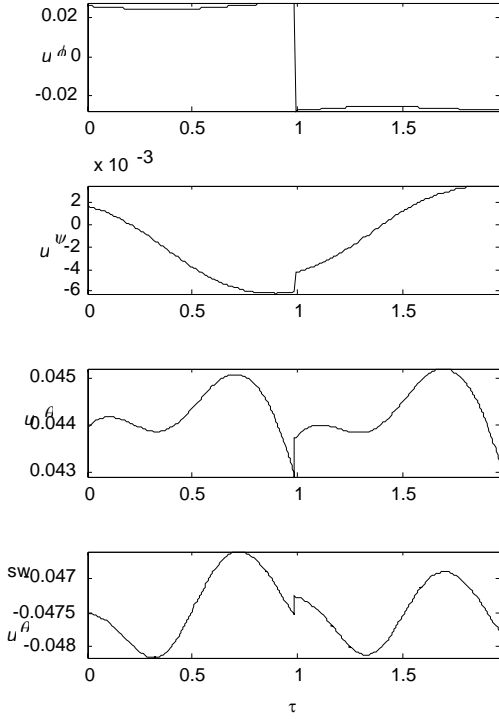


Fig. 15 Control input torques related to each DOF over one stride (two steps) of controlled turning of robot on level ground

شکل 15 نمودار گشتاورهای ورودی کنترلی متناظر هر درجه آزادی حین یک گام (دو قدم) چرخش کنترل شده ربات روی سطح افق

7- نتیجه گیری

در این مقاله کنترل چرخش پایدار مجانبی یک ربات دوپای سه بعدی مورد بحث قرار گرفت. برای این منظور روش غیرفعال پایه شکل دهی انرژی پتانسیل که پیش از این برای کنترل راه رفتن ارائه شده بود، تعمیم داده شد. نشان داده شد گیت‌های چرخش غیرفعال که روی گوه مارپیچ با شبی خاص وجود دارند، با این روش روی سایر سطوح با شبی دلخواه از جمله سطح افق به خوبی باز تولید می‌شوند. با توجه به بهینه بودن چرخش غیرفعال روی شبی خاص مربوطه (ورودی کنترلی صفر)، می‌توان گفت چرخش فعال بدست آمده